

Spatial-Temporal Assessment of Groundwater Quality Characteristics for Agricultural Use in Malayer Plain

Samira Al-Sadat Hedayati^{ID1}, Omid Bahmani^{ID*}², Peyman Tahmasbi^{ID3}, Fatemeh Dalavand^{ID4}, Seyed Abolfazl Hosseini^{ID5}

Received: 03-09-2024, Revised: 24-09-2024, Accepted: 29-10-2024, Published: 09-06-2025

<https://doi.org/10.22034/19.68.6>

Extended Abstract

Introduction

Groundwater is a vital resource for agricultural water supply, particularly in arid and semi-arid regions. Overextraction of groundwater aquifers has led to both qualitative and quantitative degradation, reducing their potential for sustainable water supply. Monitoring spatial and temporal variations in agricultural water quality is essential for efficient utilization and aligning water quality parameters with agricultural usage. Geostatistics has emerged as a powerful tool across various disciplines, especially for interpolation and estimation tasks. Numerous methods are available for studying and mapping groundwater quality variations, with their accuracy depending on regional conditions and data availability. Previous research highlights the reliability of interpolation methods in generating groundwater quality maps. Thus, creating groundwater quality maps using local data and appropriate spatial analysis methods is vital for water resource management. This study evaluates geostatistical methods to analyze spatial and temporal variations in groundwater quality parameters for agricultural purposes in Malayer Plain, Hamadan Province.

Methodology

The study area encompasses the main aquifer of Malayer Plain in Hamadan Province, with an area of 518.63 km². Data from 31 wells, provided by the Hamadan Regional Water Company, were used to analyze groundwater quality parameters. These parameters included EC, pH, HCO₃, CL, and SAR, measured during June and September over a five-year period (2016–2020). Zoning maps were created using Inverse Distance Weighting (IDW) and Kriging (Ordinary, Universal, and Simple) methods with exponential, Gaussian, and spherical variograms in ArcGIS 10. The accuracy of the zoning methods was evaluated using statistical metrics such as Mean Error (ME), Root Mean Square Error (RMSE), and Root Mean Square Standardized Error (RMSSE). The best interpolation method for each parameter was selected based on these metrics. Temporal variations in groundwater quality parameters were assessed by generating algebraic maps using the Raster Calculator tool, dividing the parameter values for June

1. M.Sc. Graduate, Department of Water Science and Engineering, Bu-Ali Sina University, Hamedan, Iran.

2. Associate Professor, Department of Water Science and Engineering, Bu-Ali Sina University, Hamedan, Iran. Corresponding Author: omid.bahmani@basu.ac.ir

3. Ph.D. Students of Irrigation and Drainage, Department of Water Science and Engineering, Bu-Ali Sina University, Hamedan, Iran.

4. Ph.D. Students of Irrigation and Drainage, Department of Water Science and Engineering, Bu-Ali Sina University, Hamedan, Iran.

5. Ph.D. Students of Irrigation and Drainage, Department of Water Science and Engineering, Bu-Ali Sina University, Hamedan, Iran.

and September 2020 by those from 2016. Continuous classified maps were created using the Wilcox agricultural water quality index implemented via Python scripting in ArcGIS 10.

Results and Discussion

In June, the most suitable interpolation methods for each parameter were Ordinary Kriging, Universal Kriging, IDW, and Ordinary Kriging, respectively. In September, the preferred methods for EC, pH, HCO₃, CL, and SAR were Ordinary Kriging, Universal Kriging, IDW, Ordinary Kriging, and IDW, respectively. Groundwater quality was classified into four standard classes—excellent, good, medium, and poor—based on EC and SAR. Maps of agricultural water quality standards were developed for June and September. The SAR parameter exhibited a stable trend in June but showed significant fluctuations in September, particularly in 2017. For EC, despite an increasing trend in both months, values were consistently lower in June compared to September. According to the Wilcox index, areas classified as “good” quality decreased by 4.9% from 2016 to 2020 in June and by 12.3% in September.

Conclusion

This study utilized GIS tools to determine the quality standards for agricultural water and analyze spatial-temporal variations in groundwater quality parameters in the saturated aquifer of Malayer Plain. Python scripting was employed to produce classified raster maps based on the Wilcox index. The results indicated that the geostatistical methods used were sufficiently accurate for the study area. Kriging and IDW provided the best interpolation accuracy. The analysis covered five years of data for June and September, focusing on EC, pH, HCO₃, CL, and SAR. The results showed declining groundwater quality, with increased concentrations of CL, HCO₃, and EC over time, while slight reductions were observed for pH and SAR. None of the areas were classified as “poor” according to the Wilcox index, but central and southeastern parts of the aquifer fell into the “medium” class, indicating vulnerability to critical conditions. Given the importance of groundwater quality for agriculture, the environment, and the economy, the continued application of interpolation methods can serve as a fast and effective approach for groundwater quality monitoring in Malayer Plain.

Keywords: *Malayer, Groundwater, Drought, Geostatistics, Wilcox*

Article Type: Research Article

Acknowledgement

We appreciate the Regional Water Company of Hamadan Province for providing the groundwater quality data of the Malayer plain.

Conflicts of interest

“The authors of this article declare that they do not have any conflict of interest regarding the writing and publication of the contents and results of this research.”

Data Availability Statement:

All information and results are presented in the text of the article

Authors' contribution

- 1- Samira Al-Sadat Hedayati: Writing the initial version of the article, conceptualization, software analysis, drawing maps
- 2-Omid Bahmani: Guidance, conceptualization, consultation, revision of the text of the article, control of the results

3- Peyman Tahmasbi: Editing and revising the article, analysis of results, and conceptualization.

4- Fatemeh Dalavand: Review of the article, control of the results

5- Seyed Abolfazl Hosseini: Revision of the text of the article, control of the results

Citation: Alasadat Hedayati S, Bahmani O, Tahmasebi P, Dalvand F, Hosseini S A. Spatial-Temporal Assessment of Groundwater Quality Characteristics for Agricultural Use in Malayer Plain. jwmseir 2025; 19 (68): 78-92

Iran-Watershed Management Science & Engineering, Year 2025, Vol 19, No 68, PP 78-92

Publisher: Watershed Management Society of Iran

© Author(s)



بررسی تغییرات مکانی- زمانی ویژگی‌های آب مورد استفاده در بخش کشاورزی دشت ملایر

سمیرا السادات هدایتی^۱، امید بهمنی^۲، پیمان طهماسبی^۳، فاطمه دالوند^۴، سید ابوالفضل حسینی^۵

تاریخ دریافت: ۱۴۰۳/۰۶/۱۳، تاریخ داوری ۱۴۰۳/۰۷/۰۳، تاریخ پذیرش: ۱۴۰۳/۰۸/۰۶، تاریخ انتشار: ۱۴۰۴/۰۳/۱۹

<https://doi.org/10.22034/19.68.6>

چکیده

آب زیرزمینی از مهم‌ترین منابع تأمین آب کشاورزی در مناطق خشک و نیمه‌خشک است. استخراج بی‌رویه آب از سفره‌های آب زیرزمینی، منجر به تخریب کیفی و کمی آبخوان‌ها و کاهش پتانسیل آنها برای تأمین آب می‌شود. این پژوهش با هدف بررسی تغییرات مکانی و زمانی کیفیت آب زیرزمینی در دشت ملایر استان همدان طی دوره آماری پنج ساله ۱۳۹۵ تا ۱۳۹۹ انجام شد. با توجه به نقش حیاتی آب زیرزمینی در کشاورزی مناطق خشک و نیمه‌خشک و تهدیدهای ناشی از بهره‌برداری بی‌رویه، از روش‌های درون‌یابی زمین‌آمار شامل کربجینگ (معمولی، عام و ساده) و IDW در محیط نرم‌افزار ArcGIS 10 برای تهیه نقشه‌های پهن‌بندی پارامترهای کیفی EC، pH، HCO₃، CL و SAR در دو مقطع زمانی خرداد و شهریور استفاده شد. داده‌های مورد نیاز از ۳۱ حلقه چاه تأمین و دقت روش‌ها با شاخص‌های آماری مانند میانگین خطأ و ریشه میانگین مربع خطأ ارزیابی شد. نتایج نشان داد که دقت روش‌ها بسته به پارامتر و زمان متفاوت است، به‌گونه‌ای که در ماه خرداد، روش کربجینگ معمولی برای اکثر پارامترها بهترین عملکرد را داشت، در حالی که در شهریور ترکیبی از کربجینگ و IDW بهینه بود. با استفاده از شاخص ویلکاکس، کیفیت آب برای کشاورزی در چهار کلاس ارزیابی و نقشه‌های طبقه‌بندی شده با زبان برنامه‌نویسی پایتون تولید شد. تحلیل تغییرات نشان داد که کیفیت آب در پارامترهای چون CL و HCO₃ در دوره انتهایی نسبت به ابتدای دوره کاهش داشته و غلظت آنها افزایش یافته است، در حالی که تغییرات pH و SAR کم‌تر بوده‌اند. همچنین مساحت مناطقی با کیفیت "خوب" به ترتیب در خرداد و شهریور به میزان ۴/۹ و ۱۲/۳ درصد کاهش یافته است. هیچ‌یک از مناطق در کلاس "تامناسب" قرار نگرفتند، اما بخش‌هایی از نواحی مرکزی و جنوب‌شرقی در کلاس "متوسط" قرار گرفته و مستعد بحران هستند. نتایج بیانگر کارایی بالای روش‌های درون‌یابی در پایش و مدیریت منابع آب زیرزمینی بوده و استفاده مستمر از آن‌ها برای حفظ پایداری منابع آب کشاورزی منطقه پیشنهاد می‌شود.

کلیدواژه‌ها: ملایر، آب زیرزمینی، خشک‌سالی، زمین‌آمار، ویلکاکس

نوع مقاله: پژوهشی

استناد: هدایتی سمیرا السادات، بهمنی امید، طهماسبی پیمان، دالوند فاطمه، حسینی سید ابوالفضل. بررسی تغییرات مکانی- زمانی ویژگی‌های کیفی آب مورد استفاده در بخش کشاورزی دشت ملایر. علوم و مهندسی آبخیزداری ایران ۱۴۰۴؛ ۱۹(۶۸): ۷۸-۹۲ و علوم و مهندسی آبخیزداری ایران، سال ۱۴۰۴، دوره ۱۹، شماره ۶۸، صفحه ۷۸-۹۲



© نویسنده‌گان

ناشر: انجمن آبخیزداری ایران

- ۱- دانش‌آموخته کارشناسی ارشد، گروه علوم و مهندسی آب، دانشکده کشاورزی، دانشگاه بوعالی سینا، همدان، ایران.
- ۲- دانشیار، گروه علوم و مهندسی آب، دانشکده کشاورزی، دانشگاه بوعالی سینا، همدان، ایران. نویسنده مسئول: omid.bahmani@basu.ac.ir
- ۳- دانشجوی دکتری آبیاری و زهکشی، گروه علوم و مهندسی آب، دانشکده کشاورزی، دانشگاه بوعالی سینا، همدان، ایران.
- ۴- دانشجوی دکتری آبیاری و زهکشی، گروه علوم و مهندسی آب، دانشکده کشاورزی، دانشگاه بوعالی سینا، همدان، ایران.
- ۵- دانشجوی دکتری آبیاری و زهکشی، گروه علوم و مهندسی آب، دانشکده کشاورزی، دانشگاه بوعالی سینا، همدان، ایران.

مناطق مرکزی و مرکزی متمایل به شرق همچوar با دریا پایین بوده و می تواند پایداری تولید برنج در این مناطق را که از مناطق عملده برنج کاری استان است به خطر اندازد. روش های پهنه بندی مورد بررسی از نظر دقت تفاوت زیادی نداشتند ولی در مجموع روش های کریجینگ و معکوس فاصله با توان یک دقت بیشتری در درون یابی این خواص کیفی داشتند. عادلی [۲] از داده های ۱۴۵ مکان مختلف شهرستان گرگان که طی سال های ۱۳۸۳ تا ۱۳۸۸ جمع آوری شده بود برای ارزیابی روش های مختلف درون یابی (شامل وزن دهنی معکوس فاصله و کریجینگ با توابع مختلف از جمله نمایی، کروی و معمولی) در پهنه بندی فاکتور های کیفی آب استفاده نمود. نتایج مؤید نزدیکی دقت روش های مختلف درون یابی برای داده های مورد استفاده بوده است. سایر نتایج نیز حاکی از آن بود که کیفیت منابع آب در این شهرستان از جنوب شرق به شمال غرب در مورد اکثر فاکتور های کیفی از جمله هدایت الکتریکی و نیترات نامطلوب تر می شود. ایشان دلیل آن را علاوه بر شرایط خاص طبیعی عواملی از جمله نفوذ فاضلاب گرگان و استفاده از کود و سموم کشاورزی بیان نمودند.

صاحب جلال و همکاران [۱۸] تغییرات زمانی و مکانی ویژگی های کیفی آب (شامل EC, SAR, CL و B) مربوط به ۷۶ حلقه چاه در دشت بهادران مهریز را با استفاده از روش زمین آماری کریجینگ مورد مطالعه قرار دادند. بررسی نقشه شوری نشان داد که آب زیرزمینی در ۴۸ درصد از منطقه در کلاس محدودیت شدید و ۵۲ درصد در کلاس با محدودیت کم تا متوسط قرار دارد. همچنین در یک دوره ۵ ساله شوری آب زیرزمینی در ۳۱/۱ درصد از منطقه کاهش، در ۲۶/۵ درصد افزایش و در ۴۲/۴ درصد بدون تغییر مانده بود. ارسلان [۵] بر اساس داده های ۹۷ چاه پایش شده در یک دوره هفت ساله، نقشه تغییرات مکانی و زمانی آب های زیرزمینی دشت با فرا ترکیه را با استفاده از کریجینگ معمولی^۱ و کریجینگ شاخص^۲ تهیه نمود. نقشه های تنوع مکانی کاهاش شوری را از سال ۲۰۰۴ تا ۲۰۱۰ نشان داد که این امر را به تکمیل سامانه های آبیاری و زهکشی و آب شویی نمک از مناطق مرتفع نسبت داد.

قمشیون و همکاران [۱۱] با بررسی تغییرات مکانی ویژگی کیفی آب زیرزمینی (شامل هدایت الکتریکی، کلر، غلظت املاح محلول، سدیم و سولفات) در دشت سمنان و سرخه با استفاده از روش های زمین آمار معکوس فاصله، کریجینگ و کوکریجینگ به این نتیجه رسیدند که روش کوکریجینگ دارای دقت بالاتری نسبت به دو روش دیگر است. مقایسه نقشه های پهنه بندی مکانی پنج عامل کیفی نشان داد که در مرزهای دشت از یک روند افزایشی برخوردارند هستند، ولی در قسمت های مرکزی دشت تغییر محسوسی در طی دوره آماری (۱۳۷۸-۷۹ تا ۱۳۸۸-۸۹) نداشته اند.

جعفری و بخشنده مهر [۱۳] برای بررسی توزیع مکانی دو شاخص

- 6. Ordinary Kriging
- 7. Indicator Kriging

در بسیاری از مناطق، استفاده بیش از حد از منابع آب با کیفیت خوب باعث کاهش حجم آب قابل دسترس و استفاده از منابع آب با کیفیت نامطلوب شده است [۶]. بنابراین برای مدیریت صحیح منابع و برقراری تناسب بین کیفیت و نحوه استفاده از آب، بررسی تغییرات زمانی و مکانی کیفیت آب امری ضروری است [۱۸].

روش های گوناگونی برای مطالعه و پهنه بندی تغییرات ویژگی های آب های زیرزمینی وجود دارد که هر کدام از آن ها بسته به شرایط منطقه و وجود آمار و داده های کافی دارای دقت گوناگونی هستند [۲۰]. از جمله روش های میان یابی برای تهیه نقشه های تغییرات کیفیت آب های زیرزمینی می توان به روش های زمین آمار (مانند کریجینگ^۱ و کوکریجینگ^۲) و روش های معین (مانند عکس فاصله^۳ و تابع شعاعی^۴) اشاره کرد [۱۹].

انتخاب روش مناسب پهنه بندی و تهیه نقشه تغییرات ویژگی های کیفی آب های زیرزمینی گامی اساسی و مهم در مدیریت منابع آبی منطقه به شمار می رود [۲۲]. امروزه زمین آمار در بسیاری از علوم و مطالعات مختلف (به ویژه در مطالعاتی که نیاز به میان یابی و برآوردن است) استفاده می شود [۱۲]. فتوانی و همکاران [۱۰] از روش کریجینگ معمولی برای مطالعه و پهنه بندی نقشه کیفی آب های زیرزمینی دشت های کشاورزی تریفا در شمال شرق مراکش استفاده نمودند. نتایج آن ها نشان دهنده تغییرات معنی دار در مقایسه با مطالعات قبلی بود.

شمین و همکاران [۲۱] از روش کریجینگ و کوکریجینگ معمولی برای تخمین نسبت جذب سدیم و کلر در آب های زیرزمینی ۹۰ حلقه چاه استان فارس استفاده نمودند. نتایج نشان داد که تخمین های هر دو روش قابل قبول است، اما تخمین روش کوکریجینگ دقیق تر از کریجینگ است.

رضابی و همکاران [۱۷] با استفاده از زمین آمار و نمونه های ۱۳۵ حلقه چاه مربوط به شهریور سال ۱۳۸۶، تغییرات مکانی چند شاخص کیفیت آب های زیرزمینی (شامل Na, SAR و EC) در سطح استان گیلان را بررسی نمودند. نتایج نشان داد میزان هدایت الکتریکی آب های زیرزمینی در اکثر مناطق استان پایین است. ولی در مناطق پایین دست حوضه سفیدرود به ویژه در منطقه تلاتقی سفیدرود با دریای خزر این شاخص از یک دسی زیمنس بر متر بیش تر است. به همین ترتیب در این منطقه میزان SAR و Na نیز در مقایسه با دیگر مناطق بالاتر است ولی از نظر کشاورزی برای کشت برنج مشکلی وجود نخواهد آورد. همچنین نتایج نشان داد از نظر شاخص SAR، کیفیت آب های زیرزمینی استان در مجموع مناسب است. اما از نظر هدایت الکتریکی کیفیت آب های زیرزمینی استان به ویژه در

1. Kriging
2. Cokriging
3. Inverse Distance Weighting
4. Radial Basis Functions
5. Triffa

(EC)، کلسیم (Ca)، منیزیم (Mg^{2+})، سولفاتات (SO_4^{2-}) و بیکربنات (HCO_3^-) داشتند. بر این اساس، از این پارامترها به عنوان متغیرهای مشترک در روش کوکریجینگ استفاده شد. عملکرد پیش‌بینی روش‌های درون‌یابی انتخاب شده با استفاده از آزمون اعتبارسنجی سنجیده شد. نتایج نشان داد که کوکریجینگ با هدایت الکتریکی به عنوان متغیر مشترک، از دقت بالاتری نسبت به روش کریجینگ در پیش‌بینی شاخص کیفیت آب زیرزمینی برخوردار است.

المشتبه و همکاران [۳] با استفاده از تکنیک‌های کریجینگ در محیط GIS، کیفیت آب‌های زیرزمینی در حوضه عمان-زرقا را بررسی کردند. نتایج نشان داد که درون‌یابی مکانی کیفیت آب‌های زیرزمینی در منطقه مورد مطالعه، به دلیل تأثیر پیچیده سامانه‌های کشت و شهرنشینی، با مشکلات مختلفی روپرتو است. با بررسی و رتبه‌بندی خطاها همبستگی متقابل روش‌ها و پارامترهای مختلف، مشخص شد که روش کریجینگ معمولی با استفاده از مدل‌های مختلف نیم‌واریوگرام نتایج کلی خوبی ارائه می‌دهد. همچنین، به جز پارامترهای NO_3^- و Ca^{2+} که از ساختار مکانی قوی برخوردار هستند، بیش‌تر پارامترهای کیفیت آب‌های زیرزمینی دارای ساختار مکانی متوسطی هستند. در این مطالعه، از تکنیک‌های کریجینگ معمولی برای برآورد پارامترهای کیفیت آب زیرزمینی (Ca^{2+} , Mg^{2+} , Na^+ , K^+ , NO_3^- و CL^-) استفاده شد.

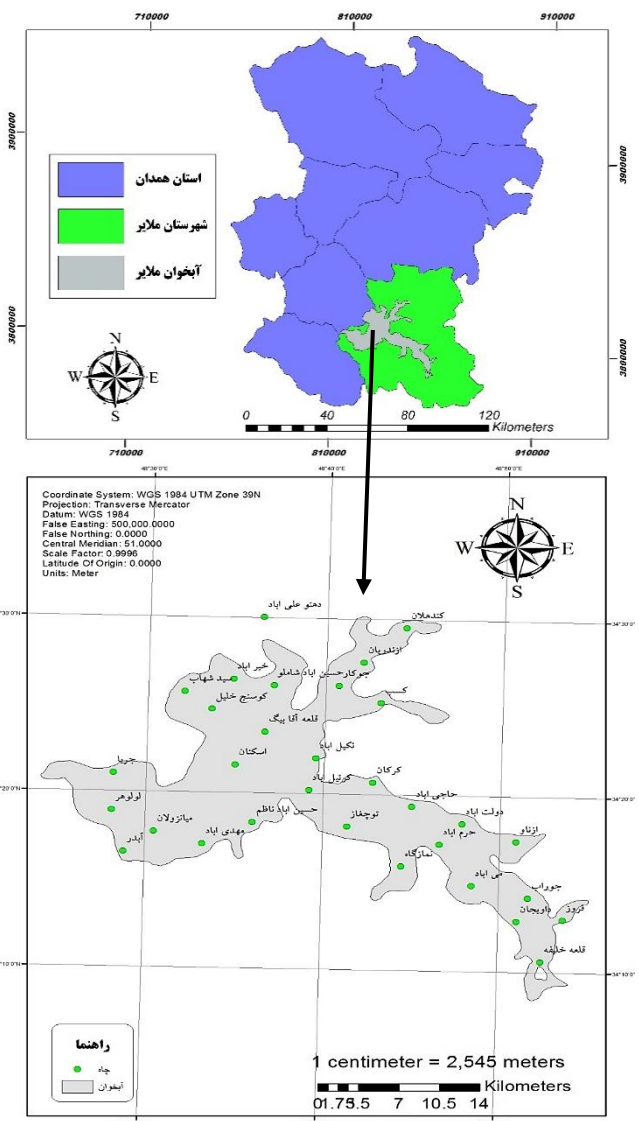
دلبری و همکاران [۹] در مطالعه‌ای، توزیع مکانی پارامترهای کیفیت آب زیرزمینی با استفاده از روش‌های زمین‌آماری در شهرستان فسا واقع در استان فارس را مورد بررسی قرار دادند و مناسب‌ترین مناطق برای اجرای سامانه‌های آبیاری بارانی از نظر کیفیت آب را تعیین کردند. نتایج نشان داد که همبستگی مکانی بین تمام پارامترها در منطقه مورد مطالعه از متوسط تا قوی است. همچنین توزیع مکانی pH و HCO_3^- با استفاده از کریجینگ معمولی صورت گرفت. همچنین احتمال تجاوز غلظت‌های EC, SAR, Na^+ و CL^- از حد آستانه در آب‌های زیرزمینی با استفاده از کریجینگ شاخص^۲ به دست آمد. نقشه‌های احتمال نشان داد که خطر تجاوز EC, Na^+ , CL^- از حد آستانه بحرانی داده شده در نیمه‌پایین منطقه مورد مطالعه بیش‌تر است. همچنین مناطق مناسب برای طراحی سامانه آبیاری بارانی ۲۵۲۴۰ هکتار تعیین شد که حدود ۳۴ درصد از کل اراضی کشاورزی را تشکیل می‌دهد و در قسمت‌های شمالی و شرقی واقع شده است. شانکار و همکاران [۲۳] توزیع مکانی ارزیابی کیفیت آب‌های زیرزمینی با استفاده از تکنیک‌های شاخص کیفیت آب و GIS در ناحیه تانجاور بررسی کردند، نتایج به دست آمده از RSC, SAR, Na, RSC نشان داد که ۷۵ درصد از نمونه‌های آب‌های زیرزمینی به دلیل زمان ماند طولانی آب، انحلال مواد معدنی از ترکیب لیتولوژیکی و افزودن کودهای شیمیایی کاملاً برای مصارف کشاورزی مناسب هستند.

وانگ و همکاران [۲۶] با استفاده از روش‌هایی مانند نیمه‌واریوگرام و انتروپلاسیون کریجینگ، ویژگی‌های توزیع مکانی کیفیت آب‌های

مهم کیفیت آب زیرزمینی شامل EC و SAR در استان اصفهان، فنون تحلیل زمین‌آماری مانند کریجینگ، IDW و RBF را بر داده‌های ۵۶ حلقه چاه اعمال و نقشه پیوسته EC و SAR را تهیه نمودند. مطابق نتایج، از میان روش‌های مورد بررسی روش کریجینگ با مدل واریوگرامی دایره‌ای بهترین عملکرد و کم‌ترین خطای نشان داد بررسی‌ها نشان داد که کیفیت آب زیرزمینی استان اصفهان از لحاظ کشاورزی، از جنوب به شمال و همچنین از غرب به شرق مخصوصاً در پلايا (اراضی فاقد کشاورزی) که کلاس کیفیت آب غیرقابل استفاده غالب است کاهش می‌یابد. جهانشاهی و همکاران [۱۴] با بررسی تغییرپذیری داده‌های کیفی سال آبی ۱۳۹۰-۹۱ مربوط به ۵۶ حلقه چاه دشت شهربابک واقع در استان کرمان به این نتیجه رسیدند که از بین روش‌های کریجینگ و معکوس فاصله، روش کریجینگ بهترین روش است. نتایج حاصل از نقشه‌های پهنه‌بندی TDS, EC و CL نشان‌دهنده سه محدوده در شرق، جنوب شرق و جنوب منطقه بود که دارای شرایط نامطلوب از نظر شرب است که در برخی از این نواحی بالاتر از حد مجاز تعیین شده توسعه استانداردهای شولر و ویلکاکس قرار می‌گیرد.

عبداللهی و همکاران [۱] تغییرات متغیرهای کیفی آب زیرزمینی دشت شهرکرد در مقیاس مکانی را بررسی نمودند. آن‌ها مدل‌های مختلف زمین‌آمار را بر داده‌های کمی و کیفی آب زیرزمینی برآش و مدل‌های مناسب را انتخاب نمودند. با توجه به معیارهای ارزیابی خطای و معیار ارزش‌یابی متقابل، تخمین‌گر کریجینگ عام با روند درجه یک و مدل کروی چهارگانه، کریجینگ عام و روند درجه‌یکی با مدل کروی پنج‌گانه، لاغ کریجینگ معمولی با مدل نمایی، کریجینگ عام و روند درجه یک با مدل نمایی، لاغ کریجینگ معمولی با مدل کروی پنج‌گانه و کریجینگ معمولی با مدل نمایی به ترتیب برای پهنه‌بندی داده‌های هدایت الکتریکی، کلسیم، کلر، منیزیم، بیکربنات، سولفات، سدیم و نیترات بهترین نتایج را داشتند. نقشه‌های پهنه‌بندی کیفی آب زیرزمینی نشان‌دهنده کاهش کیفیت آب در مرکز و خروجی آبخوان بود. کاهه و همکاران [۱۵] برای ارزیابی و پهنه‌بندی کیفیت آب زیرزمینی به کمک زمین‌آمار در محدوده مطالعاتی ساری-نکا، ۶۵ نمونه آب چاه کشاورزی مربوط به سال آبی ۱۳۹۲-۱۳۹۳ را از نظر پارامترهای مؤثر در کشاورزی شامل کلر (CL)، هدایت الکتریکی (EC)، خاصیت اسیدی و قلیایی (PH) مانده کربنات سدیم (RSC) مورد تجزیه شیمیایی قراردادند. نتایج نشان داد بیش از ۹۰ درصد نمونه‌های آزمایش کیفیت آب چاههای مورد استفاده از نظر مصرف برای کشاورزی در کلاس- $S_5-C_1-S_3$ قرار دارند. بلخري و همکاران [۷] توزیع فضایی کیفیت آب زیرزمینی با استفاده از درون‌یابی‌های کریجینگ و کوکریجینگ با هدف ارزیابی کیفیت آب زیرزمینی برای مصارف آشامیدنی در دشت ال ملیلیه، الجزاير، به روی یکپارچه انجام دادند. بررسی‌ها نشان داد شاخص GWQI^۱ همبستگی قوی و معنی‌داری با هدایت الکتریکی

1. Groundwater Quality Index



شکل ۱- موقعیت آبخوان و چاههای مشاهداتی دشت ملایر در استان همدان و کشور ایران.

Fig 1. Location of the Malayer aquifer and observation wells in Hamadan Province, Iran.

تغییرنامهای نمایی، گوسی و کروی استفاده شد. برای هر متغیر، روشی به عنوان روش درون‌یابی نهایی انتخاب شد که دارای بیشترین دقت تخمین بود. پس از تهیه لایه‌های پهنه‌بندی دو ساخت EC و SAR برای تعیین کلاس کیفی آب برای کشاورزی از دیگر امام و طبقه‌بندی ویلکاکس استفاده شد. بررسی تغییرات زمانی پارامترهای منتخب کیفیت آب زیرزمینی با ایجاد نقشه‌های جبری از طریق ابزار اسکرپت عددی انجام شد. برای این منظور با استفاده از ابزار Raster Calculator نقشه‌های پیوسته که حاصل تقسیم هر مقدار از سلول‌های پارامتر در ماه خرداد و شهریور سال‌های ۱۳۹۹ بر ۱۳۹۵ بود، تدوین شد. برای تهیه نقشه‌ها و انجام محاسبات از نرم‌افزار ArcGIS 10 استفاده شد. به منظور تولید نقشه‌های پیوسته کلاسه‌بندی

زیرزمینی در شهرستان لانگکوو، استان شاندونگ چین ارتباط آن با کاربری اراضی و نفوذ آب دریا را مورد تجزیه و تحلیل قرار گرفت. نتایج نشان داد که انواع یون‌های شیمیایی اصلی آب‌های HCO₃⁻·CL-Na·Ca و HCO₃⁻·CL-Na·Ca·Mg هستند. همچنین ویژگی‌های توزیع مکانی کیفیت آب‌های زیرزمینی ارتباط نزدیکی با کاربری اراضی و نفوذ آب دریا دارد و غلظت جرمی اکثر یون‌ها به تدریج از ساحل به سمت داخل خشکی کاهش می‌یابد. همچنین پراکندگی مکانی Na^+ و CL⁻ تحت تأثیر قابل توجه نفوذ آب دریا قرار دارد. توزیع مکانی NO₃⁻، ارتباط نزدیکی با توزیع اراضی کشاورزی و سکونتگاهی دارد.

به دلیل وجود منابع آب زیرزمینی و سطحی و خاک حاصلخیز، بخش کشاورزی در دشت ملایر رونق زیادی دارد و ارزیابی کیفی روند تغییرات آن بسیار با اهمیت است. هدف این پژوهش بررسی روش‌های مختلف زمین‌آمار و انتخاب روش مناسب برای بررسی روند تغییرات مکانی و زمانی پارامترهای کیفی آب کشاورزی در دشت ملایر استان همدان است.

مواد و روش‌ها

منطقه مورد مطالعه

آبخوان اصلی دشت ملایر با وسعت ۵۱۸/۶۳ کیلومترمربع از نظر جغرافیایی در فاصله بین ۰۰°۶ تا ۱۰°۴۶ طول شرقی و ۳۰°۵۸ تا ۳۴°۵۶ عرض شمالی از نصف‌النهار گرینویچ قرار گرفته است. موقعیت آبخوان و چاههای مشاهداتی مورد استفاده در این پژوهش برای پهنه‌بندی نقشه‌های پیوسته رسترن پارامترهای کیفی آب در شکل (۱) آورده شده است. دشت ملایر بر اساس روش آمبرژه دارای آب و هوای نیمه‌خشک سرد است. حداقل دمای روزانه در (مرداد)

گرگ ترین ماه ۴۱ و حداقل آن در (بهمن) سردترین ماه سال ۲۵ درجه سانتی‌گراد است. میانگین بارش، تبخر (از تشتک) و رطوبت نسبی سالانه آن به ترتیب حدود ۳۱۵ میلی‌متر، ۲۶۶۵ میلی‌متر و ۵۰ درصد گزارش شده است.

داده‌ها

به منظور ارزیابی و بررسی پارامترهای کیفی آب‌های زیرزمینی دشت ملایر، از آمار و داده‌های ۳۱ حلقه چاه، اخذ شده از شرکت سهامی آب منطقه‌ای استان همدان، استفاده شد (شکل ۱). پارامترها شامل EC، PH، HCO₃⁻، SAR و مربوط به دو مقطع زمانی خرداد و شهریور دوره آماری ۵ ساله (۱۳۹۹-۱۳۹۵) بودند. داده‌های مورد استفاده برای تهیه نقشه در ابتدا از نظر ویژگی‌های آماری پایه از جمله حداقل، حداکثر، میانگین، خطای استاندارد میانگین، چوگلگی و کشیدگی برای همه متغیرهای کیفی، بررسی شدند. پس از اطمینان از نرمال بودن توزیع داده‌ها و حذف روند (در صورت وجود)، از آن‌ها برای ایجاد نقشه با استفاده از روش‌های درون‌یابی وزن‌دهی معکوس فاصله و کریجینگ (معمولی، عمومی و ساده) با

تخمین کمتر باشد وزن آن بیشتر و بر عکس. در این روش مقدار متغیر در نقاط نمونه-برداری نشده (تخمین) از رابطه (۱) محاسبه می‌شود.

$$z = \frac{\sum_{i=1}^N \frac{z_i}{d_i^m}}{\sum_{i=1}^N \frac{1}{d_i^m}} \quad (1)$$

که در آن z مقدار برآورده متغیر در منطقه نمونه-برداری نشده، d_i فاصله نقطه نمونه-برداری شده تا نقطه تخمین، N تعداد کل نمونه‌ها و پارامتر m توان فاصله است. تغییرات m باعث قابلیت انعطاف‌روش IDW می‌شود به گونه‌ای که با نزدیک شدن آن به صفر تخمین‌گر IDW رفتاری شبیه میانگین حسابی و با افزایش بیش از حد آن رفتاری شبیه چندضلعی تیسن از خود نشان می‌دهد [۱۶]. در این پژوهش از سه پارامتر توان (۳ و ۲، $m=1$) استفاده و نتیجه آن با کریجینگ از طریق اعتبارسنجی متقابل و با استفاده از معیارهای ارزیابی خطای مقایسه شدند.

روش کریجینگ

این روش بر منطق «میانگین متحرک وزن‌دار» استوار است. از مهم‌ترین ویژگی‌های کریجینگ این است که به ازای هر تخمینی، خطای دامنه اطمینان آن را می‌توان محاسبه کرد، در حالی که در روش‌های کلاسیک معمولاً چنین نخواهد بود. روش کریجینگ در قالب رابطه (۱) بیان می‌شود. مقدار وزن آماری (λ_i) در روش کریجینگ معمولی از حل رابطه (۲) بدست می‌آید. همچنین روابط کریجینگ عام و ساده نیز به شکل رابطه (۳) و (۴) است [۱۲].

$$z^*(h) = \sum_{i=1}^n \lambda_i z(x_i) \quad (1)$$

$$\gamma(x_i, x_0) = \sum_{i=1}^n \lambda_i \cdot \gamma(x_i, x_j) + \mu, \sum_{i=1}^n \lambda_i = 1 \quad (2)$$

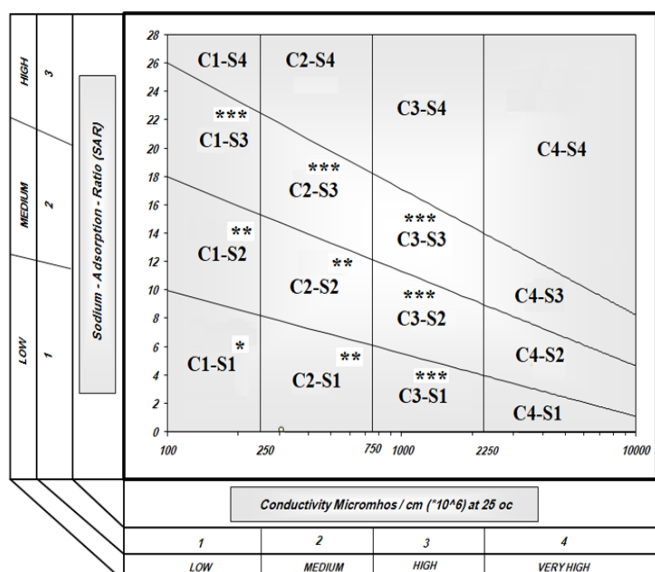
$$z(x) = m(x) + \varepsilon(x) \quad (3)$$

$$z^*(x_0) = m(x) + \sum_{i=0}^n \lambda_i \cdot [z(x_i) - m] \quad (4)$$

که در آن $(h)^*$ مقدار متغیر مکانی برآورد شده، x_i مقدار متغیر مکانی مشاهده شده در نقطه i و λ_i وزن آماری که به نمونه x_i نسبت داده می‌شود، است. همچنین $\gamma(x_i, x_j)$ نیم‌تغییرنما بین نقطه‌های i و j و μ نیم‌تغییرنما بین نقطه 0 و نقطه‌ای که باید برآورد شود و m ضریب لاگرانژ است. در رابطه‌های میانگین متغیر x است. مؤلفه $\varepsilon(x)$ قطعیت‌پذیر بوده و می‌تواند تابعی از مختصات باشد در صورتی که $\varepsilon(x)$ یک متغیر تصادفی (احتمال‌پذیر) است که در صورت دارا بودن خاصیت پیوستگی می‌تواند ساختار مکانی متغیر ناحیه‌ای باشد. تخمین یا پیش‌بینی متغیرها در زمین‌آمار شامل دو

در محیط سامانه اطلاعات جغرافیایی از شاخص استاندارد کشاورزی (ویلکاکس) توسط کد برنامه‌نویسی پایتون استفاده شد. پایتون به عنوان یک ابزار چندمنظوره، در حوزه آب کاربردهای متنوعی دارد. از تحلیل داده‌های هیدرولوژیکی و مدل‌سازی سامانه‌های آبی گرفته تا مدیریت منابع آب و پردازش تصاویر ماهواره‌ای، پایتون به ابزاری قدرتمند برای متخصصان آب تبدیل شده است. سادگی سیستمکس و وجود کتابخانه‌های تخصصی مانند Rasterio و Geopandas را به گزینه‌ای ایده‌آل برای انجام تحقیقات و مطالعات در حوزه آب تبدیل کرده است.

دیاگرام ویلکاکس



شکل ۲- طبقه‌بندی کیفیت آب به روش ویلکاکس برای مصارف کشاورزی، * آب‌های خیلی خوب، ** آب‌های خوب، *** آب‌های متوسط و بقیه کلاس‌ها نامناسب

Fig 2. Classification of water quality according to the Wilcox method for agricultural uses: * very good water, ** good water, *** moderate water, and the remaining classes are unsuitable.

در این نمودار در محور افقی شاخص هدایت الکتریکی (EC) و در محور عمودی نسبت جذب سدیم (SAR) با توجه به میزان تأثیری که بر محصولات و خاک کشاورزی دارد، به چهار گروه تقسیم شده‌اند. از تلفیق این گروه‌ها، ۱۶ کلاس کیفیت آب حاصل شده است که تناسب آب را برای استفاده در کشاورزی با آن تعیین می‌شود (شکل ۲) [۴].

روش IDW

این روش بر اساس وزن دهنده به نقاط نمونه-برداری بر عکس فاصله آنها از نقطه تخمین بنا شده است. هرچه فاصله نمونه تا نقطه

تعداد مشاهدات است. هرچه مقدار RMSE کمتر، Mean Error به صفر نزدیکتر و RMSSE به یک نزدیکتر باشد نتایج مطلوب تر است.

نتایج و بحث

پیش از تولید نقشه‌ها، در هر دسته پارامتری روش‌های پهنه‌بندی با استفاده از معیارهای ME، RMSE و RMSSE مورد مقایسه واقع شد. در جداول (۱) و (۲) منتخب روش‌های پهنه‌بندی برای تمامی پارامترهای کیفیت آب موجود در منطقه ارائه شده است. برتری هر روش در این شرایط وابسته به کمتر بودن خطای RMSE یا RMSES و در نهایت ME بوده است. بنابراین ستون نهایی در جداول (۱) و (۲)، نوع روش انتخاب شده به همراه جزئیات روش را در هر پارامتر معرفی می‌کند. در مراحل بعدی این پژوهش، تعدادی از این پارامترها (شامل EC، CL، HCO₃، PH و SAR) به عنوان عناصر نهایی انتخاب شده و

به منظور محاسبه شاخص‌های استاندارد کیفیت آب بررسی شد.

با توجه به جدول (۱) روش پهنه‌بندی مناسب در ماه خرداد برای پارامتر EC، CL، HCO₃، PH و SAR به ترتیب روش کریجینگ معمولی، کریجینگ عام، کریجینگ IDW و کریجینگ معمولی انتخاب شده است. همچنین با توجه به نتایج جدول (۲)، روش کریجینگ معمولی انتخاب شده است. همچنین با توجه به نتایج جدول (۲)، روش پهنه‌بندی مناسب در ماه شهریور برای پارامترهای CL، HCO₃، PH، EC و SAR به ترتیب روش کریجینگ معمولی، کریجینگ عام، کریجینگ IDW و IDW انتخاب شده است. نتایج نشان داد اگرچه در اکثر موارد روش کریجینگ بر IDW برتری داشته است اما دقت روش‌های مختلف درون‌یابی برای داده‌های مورد استفاده بسیار نزدیک بوده است. این نتیجه با نتایج سایر پژوهشگران ([۲]، [۱۱]، [۱۳] و [۱]) مطابقت داشت. برای تشریح جامع تر تغییرات پارامترهای کیفیت آب در آبخوان ملایر با میانگین‌گیری از هر دو دوره پنج ساله در شکل (۳) مشخص شده است. همان‌گونه که در شکل مذکور می‌توان مشاهده کرد، در رقوم کمی انتخابی تحت عناوین PH، EC و HCO₃ در دوره انتهایی نسبت به دوره مشابه اول افت کیفیت با افزایش غلظت وجود داشته است. با این حال در دو پارامتر CL و SAR این مقدار به نسبت دوره مشابه اندکی افت را هم نشان می‌دهد (شکل ۳). آنالیز داده‌های شکل ۳ نشان می‌دهد که پارامتر pH در ماههای شهریور و خرداد، طی دوره مطالعه، از پایداری نسبی برخوردار بوده است. در مقابل، پارامتر HCO₃ در این دو ماه، نوسانات معنی‌داری داشته و الگوی زمانی مشخصی را نشان نمی‌دهد.

پروفایل تغییرات پارامتر کلر در ماههای خرداد و شهریور، هم‌خوانی قابل توجهی با یکدیگر دارد. با این حال، پارامتر SAR در این دو ماه، رفتار متضادی از خود نشان می‌دهد. درحالی که در ماه خرداد، این پارامتر روند پایداری را طی می‌کند، در ماه شهریور و بهویژه در سال ۱۳۹۹، نوسانات شدیدی در مقادیر آن مشاهده می‌شود. در نهایت در

مرحله است، مرحله نخست مدل‌سازی ساختار فضایی متغیر است که به وسیله آنالیز نیم‌تغییرنما (واریوگرام) قابل بررسی است، مرحله دوم تخمین متغیر مورد نظر بوده که به مرحله اول وابسته است. تابع واریوگرام به صورت رابطه (۵) تعریف می‌شود.

$$\gamma(h) = \frac{1}{2N(h)} \sum_{i=0}^{N(h)} (z(x_i) - z(x_i + h))^2 \quad (5)$$

$x_i + h$ و $N(h)$ به ترتیب مقادیر متغیر در نقاط x_i و $x_i + h$ تعداد جفت نمونه‌های به کاررفته به ازای هر فاصله h است. قبل از کاربرد واریوگرام‌های تجربی در تخمین، لازم است به آن‌ها مناسب‌ترین مدل تئوری را برآش داد و سپس مدل را در فرآیند تخمین به کار برد. برای واریوگرام تعداد محدودی مدل شناخته شده و به طور معمول به کار می‌رود. از جمله نیم‌تغییرنماهای تئوریک (نظری) کاربردی در زمین‌آمار، می‌توان به شبیه‌های کروی (رابطه ۶)، گوسی (رابطه ۷) و نمایی (رابطه ۸) اشاره کرد [۱۲].

$$\gamma(h) = c \left[\frac{h}{a} - 0.5 \frac{h^3}{a^3} \right] \quad (6)$$

$$\gamma(h) = c \left[1 - e^{-\frac{h}{a}} \right] \quad (7)$$

$$\gamma(h) = c \left[1 - e^{-\frac{h^2}{a^2}} \right] \quad (8)$$

در این روابط c حد آستانه‌ای، a دامنه تأثیر، h فاصله نقاط و $\gamma(h)$ نیم‌تغییرنما است.

معیارهای ارزیابی

برای ارزیابی دقت روش‌ها در پهنه‌بندی پارامترهای کیفیت آب از معیارهای آماری میانگین خطای (ME)، ریشه میانگین مریع خطای (RMSE) و ریشه میانگین مریع خطای استاندارد (RMSE_s) استفاده شد (رابطه‌های ۹، ۱۰ و ۱۱). [۸].

$$ME = \frac{\sum_{i=1}^n [z_{est} - z_{obs}]}{n} \quad (9)$$

$$RMSE = \sqrt{\frac{\sum_{i=1}^n [z_{est} - z_{obs}]^2}{n}} \quad (10)$$

$$RMSE_s = \sqrt{\frac{\sum_{i=1}^n \frac{[z_{est} - z_{obs}]}{\sigma}^2}{n}} \quad (11)$$

در این رابطه‌ها، z_{obs} مقادیر مشاهده شده (واقعی)، \bar{z}_{obs} میانگین مقادیر مشاهده شده، z_{est} مقادیر برآورده شده (خرنگی مدل)، σ میانگین مقادیر برآورده شده، n مقدار انحراف استاندارد مکانی و

1. Mean Error
2. Root Mean Square Error
3. Root Mean Square Standardized Error

جدول ۱- مقادیر مقایسه‌ای خطأ پهنه‌بندی پارامترها در ماه خرداد

Table 1 - Comparative error values of parameter zoning in June

شماره Number	نام Name	RMSE ¹				ME ²				RMSSE ³			مدل انتخابی Selected model
		IDW	K-S	K-O	K-U	IDW	K-S	K-O	K-U	K-S	K-O	K-U	
1	EC	182.8	256.6	238.9	265.7	10.883	-9.777	-11.438	-13.292	1.402	1.105	1.141	K-O ¹
2	TDS	122.8	172.1	160.3	178.4	-6.988	-6.381	-7.386	-10.628	1.407	1.105	1.147	K-O
3	PH	0.335	0.379	0.388	0.511	-0.012	0.007	0.013	-0.068	1.247	1.109	1.020	K-U ²
4	HCO ₃	1.023	1.115	1.104	1.152	0.080	-0.029	-0.007	-0.037	1.217	1.005	0.909	K-U
5	CL	0.570	0.641	0.609	0.661	-0.018	-0.027	-0.022	-0.042	1.379	1.025	1.188	³ IDW
6	SO ₄	1.251	1.429	1.412	1.562	-0.235	-0.022	-0.003	-0.086	1.243	1.073	2.040	K-O
7	SUM_Anion	1.746	2.532	2.328	2.617	-0.088	-0.114	-0.135	-0.109	1.403	1.121	1.131	IDW
8	Ca	0.680	0.698	0.717	0.735	0.035	-0.019	-0.005	-0.009	1.300	1.220	1.033	K-U
9	Mg	0.792	0.787	0.762	0.905	0.063	-0.027	-0.009	-0.076	1.354	1.096	1.148	K-O
10	Na	1.304	1.828	1.716	1.824	-0.215	-0.101	-0.160	-0.158	1.883	1.150	1.222	K-O
11	K	0.013	0.015	0.014	0.016	-0.001	-0.001	0.000	-0.001	1.397	1.023	1.201	K-O
12	SUM_Cation	1.760	2.506	2.301	2.560	-0.076	-0.122	-0.152	-0.149	1.462	1.199	1.107	IDW
13	Prc_Na	9.252	10.548	10.498	12.157	-2.354	-0.034	0.092	-1.236	1.341	1.067	2.305	K-O
14	SAR	0.740	0.942	0.899	0.959	-0.139	-0.040	-0.047	-0.083	1.747	1.140	1.239	K-O
15	TH	60.71	63.946	62.451	69.725	4.001	-2.262	-0.942	-3.640	1.328	1.130	1.138	K-O

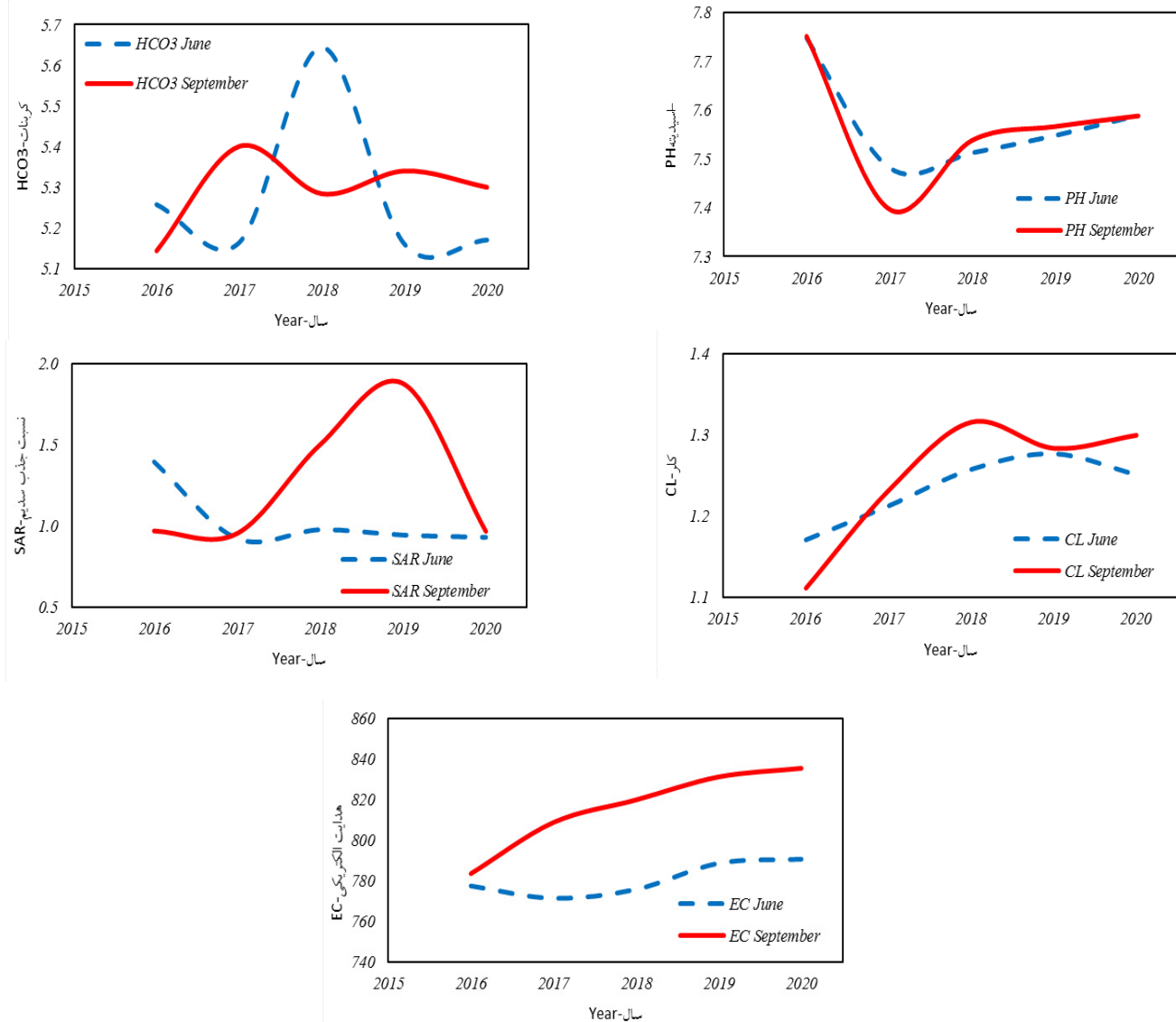
واحد RMSE در پارامتر EC میلی موس بر متر و در سایر پارامترها میلی اکی والان بر لیتر است.

جدول ۲- مقادیر مقایسه‌ای خطأ پهنه‌بندی پارامترها در ماه شهریور

Table 2 - Comparative error values of parameter zoning in September

Number	Name	RMSE ¹				ME ²				RMSSE ³			مدل انتخابی Selected model
		IDW	K-S	K-O	K-U	IDW	K-S	K-O	K-U	K-S	K-O	K-U	
1	EC	343.6	352.0	341.7	1363.9	10.181	8.577	-2.746	1363.9	1.628	1.475	11.430	K-O ⁴
2	TDS	233.6	239.4	232.4	958.1	6.992	5.620	-2.121	958.1	1.648	1.492	11.148	K-O
3	PH	0.243	0.278	0.275	1.382	0.010	0.012	0.009	1.382	1.369	1.270	1.242	K-U ⁵
4	HCO ₃	1.139	1.241	1.183	2.323	-0.013	0.055	0.028	2.323	1.369	1.248	16.868	⁶ IDW
5	CL	0.856	0.868	0.847	6.834	0.043	0.009	-0.013	6.834	1.724	1.507	1.707	K-O
6	SO ₄	1.717	1.677	1.658	10.217	0.065	-0.009	-0.064	10.217	3.071	2.569	2.741	K-O
7	SUM_Anion	3.344	3.444	3.333	15.047	0.076	0.087	-0.014	15.047	1.631	1.465	11.985	K-O
8	Ca	0.854	0.904	0.859	2.486	0.039	0.015	-0.009	2.486	1.290	1.161	7.148	K-O
9	Mg	0.855	0.962	0.923	1.324	0.071	0.039	0.032	1.324	1.340	1.227	18.239	K-O
10	Na	2.094	2.166	2.079	12.331	0.006	0.011	-0.081	12.331	2.838	2.243	2.276	IDW
11	K	0.015	0.016	0.016	0.075	0.000	0.001	0.000	0.075	1.943	1.659	2.314	IDW
12	SUM_Cation	3.346	3.450	3.334	15.387	0.081	0.093	-0.011	15.387	1.641	1.474	11.458	K-O
13	Prc_Na	10.852	12.047	11.167	37.689	0.240	0.477	-0.118	37.689	1.499	1.324	1.215	K-O
14	SAR	0.988	1.053	0.994	5.576	0.004	0.021	-0.028	5.576	2.126	1.985	1.909	IDW
15	TH	79.692	85.253	80.712	175.193	4.734	2.468	1.417	175.193	1.333	1.183	15.502	K-O

واحد RMSE در پارامتر EC میلی موس بر متر و در سایر پارامترها میلی اکی والان بر لیتر است.



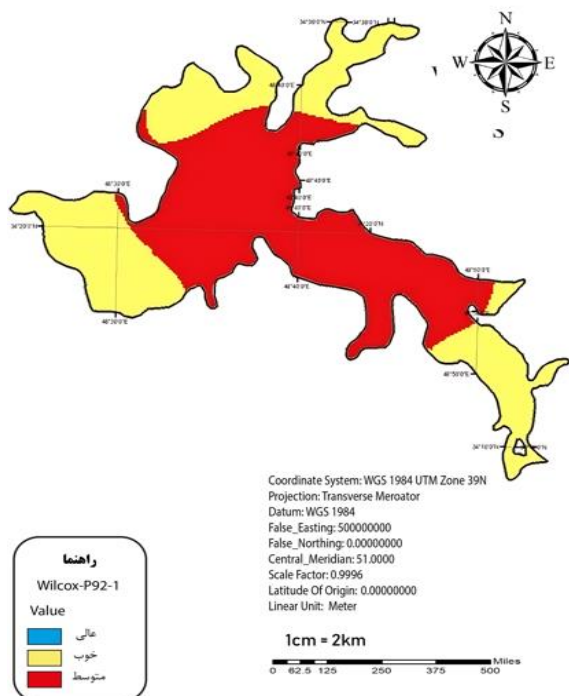
شکل ۳- تغییرات سالانه پارامتر PH، HCO_3 (میلی اکسی والان بر لیتر)، CL (میلی اکسی والان بر لیتر)، SAR (میلی اکسی والان بر لیتر) و EC (میلی موس بر متر) در ماه های خرداد و شهریور

Fig 3 . Annual variations of the parameters pH, HCO_3 (meq/L), CL (meq/L), SAR (meq/L), and EC (mS/cm) in the months of June and September.

پارامترهای کیفیت آب مؤثر باشد. به خصوص این مورد با کمتر بودن مقدار و بزرگی پارامترهای کیفی بررسی شده در ماه خرداد نسبت به ماه شهریور مشهودتر نیز می شود.

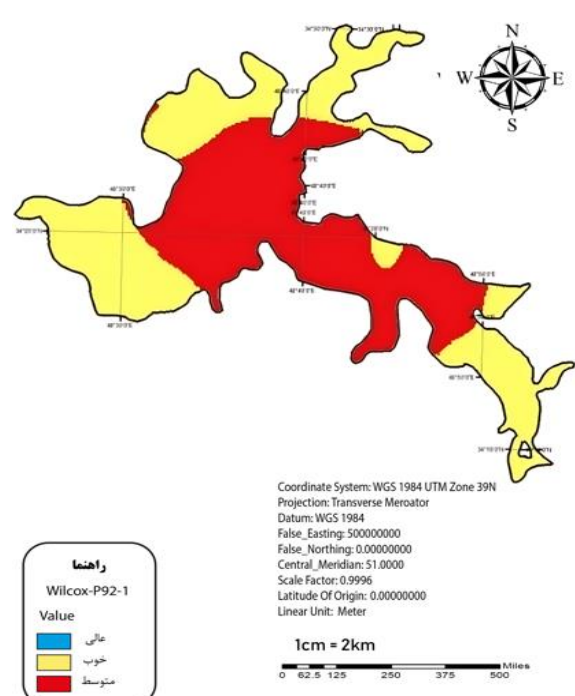
با توجه به مطالعات واقع نژاد [۲۵] که بر پایه تحلیل شاخص های استاندارد خشکسالی اقلیمی (SPI, SDI و SWI)، شرایط در ناحیه دشت ملایر را مستعد گسترش و تداوم کمبودهای ریزش جوی در سال های آتی دانسته اند و با توجه به این نکته که عدمه دلیل وقوع افزایش برداشت از مخزن ثابت آبخوان دشت ملایر، چاههای کشاورزی در هنگام کمبود جریانات سطحی است؛ بنابراین می توان کاهش کیفیت آب کشاورزی را در نتیجه افت سطح آب زیرزمینی انتظار داشت.

پارامتر EC با وجود روند افزایشی در هر دو ماه خرداد و شهریور، اما همواره مقدار بزرگی پارامتر در ماه خرداد کمتر از ماه شهریور بوده است. این موضوع می تواند مشخص کننده افت بزرگ EC در طول هر سال و البته با مقدار کمتر از روند کلی افزایشی باشد. این کاهش قاعده ایّاً که در پارامتر اخیر و چه دیگر پارامترهای کیفیت آب، به علت تغییرات کمی تراز سطح آب در مخزن آبخوان اشیاع داشت است که خود در فصول مختلف و ماه های مختلف، وابسته به عامل اصلی تغییرات سطح آب زیرزمینی است. فعالیت کشاورزی همچنین خود در صورت در نظر گرفتن بازگشت آب آبیاری به صورت تغذیه از سطح زمین به داخل آبخوان و به خصوص سطوح بالایی تراز آب آن، می تواند به شکل بالا، آنچنان که اشاره شد بر روی روند سری زمانی



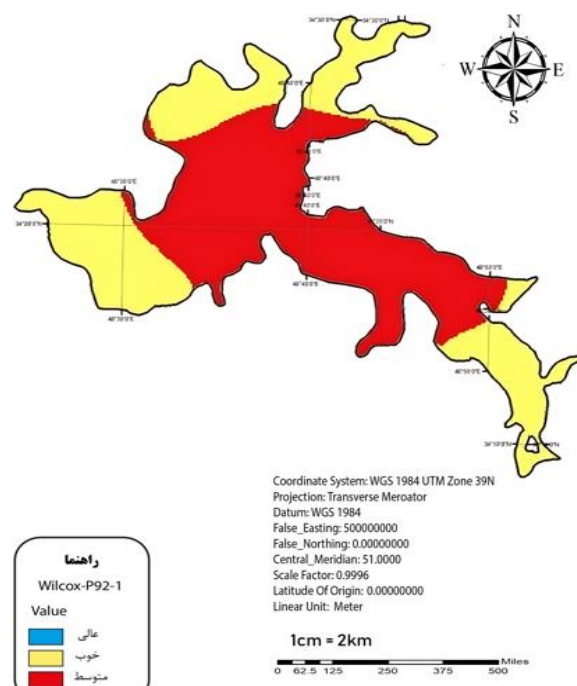
ب- خرداد سال ۱۳۹۹

B. June 2020



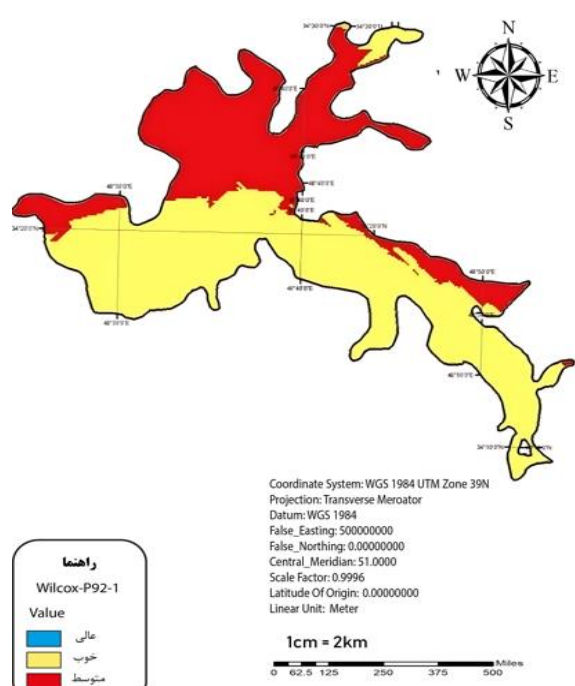
الف- خرداد سال ۱۳۹۵

A. June 2016



ت- شهریور سال ۱۳۹۹

D. September 2020



پ- شهریور سال ۱۳۹۵

C. September 2016

شکل ۴- شاخص ویلکاکس، در ماههای خرداد و شهریور
Fig 4. Wilcox chart in the months of June and September

اندازه‌گیری و طی مراحل صحت‌سنجی، لزوماً ارزش‌های متفاوت را نشان نماید و می‌تواند بیان‌گر اشتراک و نزدیکی طبقات کلاس شاخص استاندارد باشد.

سلیمانی [۲۴] با استفاده از مدل DRASTIC آسیب‌پذیری کیفی آبخوان دشت ملایر را بررسی نمود که در تشابه بالایی با نقشه‌های پژوهش حاضر، مناطق مختلف دشت در سه دسته آسیب‌پذیر کم، متوسط و زیاد به ترتیب با ارقام نسبی $15/5$ ، $71/66$ و $12/84$ درصد قرار می‌گرفت. بنابراین با توجه به استقلال مطالعات می‌توان از نزدیکی نتایج به عنوان صحت‌یابی استفاده کرد. به این ترتیب ناحیه‌ای به وسعت سطوح مرتبط چاه‌های مشاهده‌ای کوسنجد خلیل، قلعه آقاییگ، نکیل‌آباد، کرکان، حاجی‌آباد، نمازگاه، توجغار و حسین‌آباد ناظم در محدوده آسیب‌پذیر واقع می‌شوند.

نتیجه‌گیری

در این پژوهش برای تعیین حدود کیفی استاندارد آب کشاورزی و بررسی روند تغییرات غلظت پارامترهای شیمیایی آب زیرزمینی در آبخوان اثبات داشت ملایر، از این‌بار سامانه اطلاعات جغرافیایی استفاده شد. همچنین از اسکریپت برنامه‌نویسی به زبان پایتون برای تولید نقشه‌های پیوسته رستری-کلاسه‌بندی شاخص ویلکاکس استفاده شد. بهترین دقت با بهره‌گیری از مقایسه خطای استاندارد از بین روش‌های پهنه‌بندی قطعی IDW و زمین‌آمار Kriging در سال پایه انتخاب شد. مطالعه در بازه زمانی دو دسته خرداد و شهریورماه پنج ساله و برای عناصر کیفی EC، PH، HCO_3^- ، CL و SAR انجام شد. تغییرات مکانی و بزرگی مقدار نقشه‌ها حاکی از آن است که در رقوم کمی انتخابی تحت عنوان CL، HCO_3^- و EC در دوره انتهای نسبت به دوره مشابه اول افت کیفیت با افزایش غلظت وجود داشته است. با این حال در دو پارامتر PH و SAR این مقدار به نسبت دوره مشابه‌اند کی افت را نشان داد.

سپاسگزاری

نویسنده‌گان این مقاله از شرکت آب منطقه‌ای استان همدان به خاطر در اختیار قرار دادن داده‌های کیفی آب زیرزمینی دشت ملایر قدردانی می‌کنند.

تضاد منافع نویسنده‌گان

نویسنده‌گان این مقاله اعلام می‌دارند که هیچگونه تضاد منافعی در خصوص نگارش و انتشار مطالب و نتایج این پژوهش ندارند.

دسترسی به داده‌ها

داده‌ها و نتایج استفاده شده در این پژوهش از طریق مکاتبه با نویسنده مسئول در اختیار قرار خواهد گرفت.

مشارکت نویسنده‌گان

سمیرا السادات هدایتی: نگارش نسخه اولیه مقاله، مفهوم‌سازی،

در هر مورد ابتدا لایه‌های پهنه‌بندی با استفاده از دستور (Rasterize) به شکل رستری استخراج شد؛ سپس به عنوان پارامترهای ورودی، هر دو EC و SAR در چهار کلاس استاندارد کیفیت آب کشاورزی (ویلکاکس) تحت عنوانین عالی، مناسب، متوجه و نامناسب استخراج شد. برای ایجاد شرایط قیاسی، نقشه‌های استاندارد بهره‌برداری آب کشاورزی، به صورت شکل (۴) برای ماه شهریور و خرداد ترسیم شد. در هر مورد از سال‌های 1395 و 1399 به عنوان بازه‌های ابتدایی و انتهایی استفاده شد. بر اساس نقشه‌های ترسیم شده از شاخص استاندارد کیفیت آب کشاورزی (ویلکاکس) در مجموع برای ابتدای دوره پهنه‌بندی در سال 1395 مساحتی معادل $49/4$ درصد از آبخوان در شرایط کلاس دوم معادل با خوب و مساحتی معادل $50/6$ درصد در شرایط کلاس سوم معادل با متوسط واقع شد. در حالی که در سال 1399 برای ماه خرداد مساحتی معادل $45/6$ درصد از آبخوان در شرایط کلاس دوم معادل با خوب و مساحتی معادل $54/3$ درصد در شرایط کلاس سوم معادل با متوسط واقع بود.

به همین ترتیب از طریق محاسبات مکانی مشخص شد که در شهریورماه در مجموع برای ابتدای دوره پهنه‌بندی در سال 1395 مساحتی معادل $58/1$ درصد از آبخوان در شرایط کلاس دوم معادل با خوب و مساحتی معادل $41/9$ درصد در شرایط کلاس سوم معادل با متوسط واقع بود. در حالی که در سال 1399 برای شهریورماه مساحتی معادل $45/8$ درصد از آبخوان در شرایط کلاس دوم معادل با خوب و مساحتی معادل $54/2$ درصد در شرایط کلاس سوم معادل با متوسط واقع بوده است. در مجموع در خرداد ماه برای ابتدای دوره پهنه‌بندی در سال 1395 نسبت به انتهای دوره آماری در سال 1399 مساحتی از آبخوان که در شرایط کلاس دوم معادل با خوب قرار دارد به میزان $4/9$ درصد کاهش پیدا کرد. به همین ترتیب مشخص شد که در شهریورماه برای ابتدای دوره پهنه‌بندی نسبت به انتهای دوره آماری، مساحتی از آبخوان که در شرایط کلاس دوم معادل با خوب قرار دارد به میزان $12/3$ درصد کاهش پیدا کرد. بر این اساس می‌توان با استناد به این ارقام، سیر نزولی در کیفیت آب کشاورزی در آبخوان ملایر را به خوبی استنباط نمود.

همان‌طور که در شکل (۴) مشاهده می‌شود، کیفیت آب مورد استفاده در کشاورزی در طول پنج سال گذشته به‌طور قابل توجهی کاهش یافته و بخش بزرگی از آبخوان به کلاس کیفی متوسط تنزل پیدا کرده است. آن‌چه قابل توجه است این است که در شکل (۴-ب) به عنوان نقشه کلاسه‌بندی شاخص ویلکاکس در شهریورماه سال 1395 تقریباً تفاوت عمده‌ای در توزیع کلاس‌ها مشاهده شد. با توجه به کوتاهی فاصله زمانی این نقشه و ماه خرداد همین سال، علت عدمه برای این تفاوت را می‌توان در روش پهنه‌بندی پارامترهای پیوسته ورودی، یعنی SAR و EC دانست. به علاوه اگر فرض برداشت‌های فصلی را برای این تغییرات در نظر گرفته شود، قاعده‌تا در سال 1399 برای نقشه‌های حاصله نیز این مغایرت باید دیده می‌شد. تفاوت روش‌های پهنه‌بندی با توجه به تأیید خطای

Development 7(3): 1247–50. <https://doi.org/10.5194/gmd-7-1247-2014>

9. Delbari, Masoomeh, Meysam Amiri, and Masoud Bahraini Motlagh. 2016. Assessing groundwater quality for irrigation using indicator kriging method. Applied Water Science 6(4): 371–81. <https://doi.org/10.1007/s13201-014-0230-6>

10. Fetouani, S., M. Sbaa, M. Vanclooster, and B. Bendra. 2008. Assessing Ground Water Quality in the Irrigated Plain of Triffa (North-East Morocco). Agricultural Water Management 95(2): 133–42. <https://doi.org/10.1016/j.agwat.2007.09.009>

11. Ghomishoun, Marzieh, Arash Malekian, Khosro Hosseini, Saeed Gharachelo, and Mohammad Reza Khamoushi. 2012. A survey on spatial variations of groundwater quality in Semnan/Sorkheh plain using geostatistical techniques. Pasture and desert research of Iran 19(3). (In Persian). <https://doi.org/10.22092/ijrdr.2012.3798>

12. Hasani pak, Ali-Asghar. 2010. Geostatistics: Applications in Earth Sciences. Tehran: Tehran University. (In Persian)

13. Jafari, R., and L. Bakhshandehmehr. 2014. Analyzing the Spatial Variations of Groundwater Salinity and Alkalinity in Isfahan Province Using Geostatistics. JSTNAR 18(68): 183–95. (In Persian). doi:20.1001.1.24763594.1393.18.68.17.2

14. Jahanshahi, Afshin, Einillah Rohimoghaddam, and Abdulhamid Dehvari. 2014. Investigating Groundwater Quality Parameters Using GIS and Geostatistics (Case Study: Shahr-Babak Plain Aquifer). Water and Soil Science 24(2): 183–97. (In Persian). https://water-soil.tabrizu.ac.ir/article_1676_en.html

15. Kaheh, Maryam Sadat, Hamid Kardan Moghaddam, Mohammadreza Ramezani, and Saman Javadi. 2023. Evaluation of groundwater quality of aquifer based on agricultural consumption (Case study: sari aquifer). Journal of Auifer and Qanat 3(2): 89–97. (In Persian). <https://doi.org/10.22077/jaaq.2019.1736.1009>

16. Mohammadi, Jahangard. 2006. 2 Pedometry: Spatial statistics. Tehran: Pelk. (In Persian)

17. Rezaei, M., N. Davatgar, K. Tajdari, and B. Abolpour. 2010. Investigation the Spatial Variability of Some Important Groundwater Quality Factors in Guilan, Iran. (In Persian). <https://doi.org/10.22067/jsw.v0i0.5284>

18. Sahebjalal, E, F Dehghany, and M. S Tabatabaeenezade. 2013. Investigating Spatio-Temporal Variations of Groundwater Quality Using Kriging Method. JWSS - Isfahan University of Technology 17(65): 51–61. (In Persian). doi:20.1001.1.24763594.1392.17.65. 9.1

تحلیل نرم افزاری، ترسیم نقشه‌ها
امید بهمنی: راهنمایی، مفهوم‌سازی، مشاوره، بازنگری متن مقاله،
کنترل نتایج
پیمان طهماسبی: ویرایش و اصلاح مقاله، تحلیل نتایج و
مفهوم‌سازی.

فاطمه دالوند: بررسی مقاله، کنترل نتایج
سید ابوالفضل حسینی: بازنگری متن مقاله، کنترل نتایج

منابع مورد استفاده

1. Abdollahi Mansourkhani, Mehdi, Hossein Mohammadzade, Amini Mohammad, and Farahnaz Azizi. 2019. Assessment of Groundwater Quality Spatial Distribution and Appointment Optimize Network of Shahrkord Plain Aquifer Using Geostatistical Methods. Watershed Management Research 32(2): 60-78. (In Persian). <https://doi.org/10.22092/wmej.2019.123678.1159>
2. Adeli, Mohsen. 2012. Evaluation of Ground Water Quality in GORGAN Township Using GIS and Geostatistics. Geographical Planning of Space 2(5): 57–74. (In Persian). https://gps.gu.ac.ir/article_5338_en.html
3. Alizadeh, Amin. 2006. Design of Surface Irrigation Systems. Mashhad: Imam Reza University. (July 12, 2024). (In Persian).
4. Al-Mashqabah, Atef, Rida Al-Adamat, and Elias Salameh. 2012. The Use of Kriging Techniques with in GIS Environment to Investigate Groundwater Quality in the Amman-Zarqa Basin/Jordan. Research Journal of Environmental and Earth Sciences 4(2): 177–85. <https://www.airitlibrary.com/Article/Detail/20410492-201202-201507220024-201507220024-177-185>
5. Arslan, Hakan. 2012. Spatial and Temporal Mapping of Groundwater Salinity Using Ordinary Kriging and Indicator Kriging: The Case of Bafra Plain, Turkey. Agricultural Water Management 113: 57–63. <https://doi.org/10.1016/j.agwat.2012.06.015>
6. Barca, E., and G. Passarella. 2008. Spatial Evaluation of the Risk of Groundwater Quality Degradation. A Comparison between Disjunctive Kriging and Geostatistical Simulation. Environmental Monitoring and Assessment 137(1): 261–73. <https://doi.org/10.1007/s10661-007-9758-3>
7. Belkhiri, Lazhar, Ammar Tiri, and Lotfi Mouni. 2020. Spatial Distribution of the Groundwater Quality Using Kriging and Co-Kriging Interpolations. Groundwater for Sustainable Development 11: 100473. <https://doi.org/10.1016/j.gsd.2020.100473>
8. Chai, T., and R. R. Draxler. 2014. Root Mean Square Error (RMSE) or Mean Absolute Error (MAE)? – Arguments against Avoiding RMSE in the Literature. Geoscientific Model

23. Shankar, K, G Elangovan, P Balamurugan, and R Saravanan. 2022. Spatial distribution of Groundwater quality assessment using Water Quality Index and GIS techniques in Thanjavur Taluk, Thanjavur District, Tamil Nadu, India. International Journal of Civil, Environmental and Agricultural Engineering: 32–58. <https://doi.org/10.34256/ijceae2212>
24. Soleimani, S. 2011. Application of DRASTIC, SINTACS, SI and neuro-fuzzy network models for determining groundwater pollution potential sites in Malayer Plain. Bu-Ali Sina. (In Persian).
25. Vaseghnejad, H. 2015. Investigation of the effect of drought on water resources of Malayer Plain. Master's Thesis. Malayer. Malayer (In Persian).
26. Wang, Zhiwei, Fulin Li, Yongfa Xia, Huawei Chen, Kairan Wang, Shidong Fu, and Genxu Wang. 2021. Spatial distribution of groundwater quality in the coastal plain and its relationship with land use and seawater intrusion. Environmental Earth Sciences 80(14): 465. <https://doi.org/10.1007/s12665-021-09757-6>
19. Salari Jazi, Meysam, Heydar Zarei, and Mehrdad Taqavian. 2009. Application and Evaluation of Kriging and Cokriging Methods for Estimating Groundwater Level in Mianab Plain (Water Year 2005-2006). (In Persian)
20. Samadi, Javad. 2017. Spatial-Temporal Modeling of Groundwater Level Variations of Urban and Rural Areas in Kashan Aquifer Using GIS Techniques. Journal of Environmental Science and Technology 1(1): 63. (In Persian). dor:20.1001.1.24763594.13 92.17.65.9.1
21. Samin, M., J. Soltani, Z. Zeraatcar, S. A. Moasher, and N. Sarani. 2012. Spatial Estimation of Groundwater Quality Parameters Based on Water Salinity Data Using Kriging and Cokriging Methods. In International Conference on Transport, Environment and Civil Engineering, , 25–26.
22. Shabani, Mohammad. 2008. Investigation of qualitative changes in groundwater in the Arsanjan Plain. Journal of Natural Geography 3. (In Persian). dor:20.1001.1.20086377.1388.2.3.6.8